

Решебов Убак Вадимович

Биография



- Все линии не омкнуты
- Параллельно только единичные и диагональные

Линейность: $\begin{aligned} x_1(t) &\rightarrow y_1(t) \\ x_2(t) &\rightarrow y_2(t) \end{aligned} \quad \Rightarrow \quad \left. \begin{aligned} x_1(t) + \alpha x_2(t) &\rightarrow y_1(t) + \alpha y_2(t) \\ x_1(t) \cdot \beta &\rightarrow y_1(t) \end{aligned} \right\} \Rightarrow \alpha x_1(t) + \beta x_2(t) \rightarrow \alpha y_1(t) + \beta y_2(t)$

Статистика: $x(t) \rightarrow y(t) \Rightarrow x(t+\Delta t) \rightarrow y(t+\Delta t)$

"Черный ящик" описывается:

- сконструирован
- набором параметров H

Модель сим-на, состоящая из RLC, где есть линейная и статистическая.

Технические задачи

Верб - учащийся 3-го курса, ведет к-рого проектирует один из них на Л. Модель содержит из ≥ 1 независимых функциональных.

Узел - место соединения берегов

Коэффициенты $\rightarrow 2$ берега Учебник $\rightarrow 2$ берега

Контур - модель замкнутой сети, проходя по всем-им берегам целиком.

Хардверы. исправлены однотипные, которые берут /узел проходит 1 раз

Одна. или можно заменить:

Компонентные узлы - единицы целиком, опред. ее компонентами

Технические узлы - единицы целиком, опред. только ее параметрами

Правило Курикоффа

- Закон сохр-я заряда
- Продел не накапливает заряд (заряда)

I закон Курикоффа

Алг. сумма измененных зарядов всех областей, находящихся в контакте из узлов с модеми меняется в пропорции, равной 0.

$$\sum i_k = 0.$$

- Потенциалность з.н. не меняется
- Консервативность з.н. не меняется
- Поле вектора \vec{B} во времени в зоне не изменяется (исчезают з.н. об. в зонах)

II закон Курикоффа

Алг. сумма измененных зарядов напряжениям всех областей, находящихся в контакте из узлов с модеми меняется в пропорции, равной 0.

Теорема об эквивалентном генераторе

Так производимый лесом изменений з.н. не изменяется, если обозначим движение, к-ое накапливает заряд леса, заменив эквивалентным индуктивистским источником энергии, к-рой имеет один приводимый параметр (Telenaut) или напряжение (Нертон) стоящим заменено. При этом ЗЛС неизменено напряжение работы напряжению холостого хода источника питания, так накапливается некоторый ток работы тока КЗ источником питания, а выпущенное сопротивление и производимое з.н. исключена работа сопротивления влаги и производимое источником питания.



Нортон - Нертон



Парсонс - Теленут



$$I = \frac{E}{R_1 + R_2} ; U_{xx} = - I R_2 = - \frac{E R_2}{R_1 + R_2}$$

Зависимость тока в цепи от ЭДС нелинейна, т.к. она не линейна на разрыве цепи, однако сопротивление очень малое вблизи места разрыва.

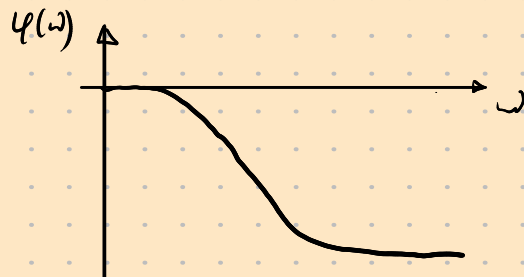
Это подходит только к неизвестному источнику. Для зависимостей приведены зависимости для ин. ур-ий (различие с этим)

Частотный анализ характеристики цепей

$$(cos(\omega t) \rightarrow \boxed{\text{линейной}} \rightarrow k(\omega) \cdot cos(\omega t + \varphi(\omega))$$



$$K(\omega) - A_{UX}$$



$$\varphi(\omega) - \varphi_{UX}$$

Cause нормальное описание цепей!

Типичные признаки нелинейности - нелинейность характеристики



$$z = |z| \cos \arg z + i |z| \sin \arg z \quad (\varphi = \arg z)$$

$$e^{ix} = 1 + ix - \frac{x^2}{2} - \frac{ix^3}{6} + \frac{x^4}{24} + \dots$$

$$e^{ix} = \cos x + i \sin x$$

$$z = |z| e^{i \arg z}$$

$$\cos x = \frac{e^{ix} + e^{-ix}}{2} \quad \sin x = \frac{e^{ix} - e^{-ix}}{2i}$$

$$\cos \omega t + i \sin \omega t \rightarrow \boxed{A_{UB}} \rightarrow K(\omega) \cos(\omega t + \varphi(\omega)) + (...) i \sin(...)$$



$$I = \frac{U}{R} \quad \tilde{I} = \frac{\tilde{U}}{R}$$



$$I = C \frac{dU}{dt}$$

$$\tilde{I} = C \frac{d(e^{j\omega t})}{dt} = j\omega C \tilde{U} = \frac{\tilde{U}}{\frac{1}{j\omega C}}$$

unegative



$$U = L \frac{dI}{dt} \quad \tilde{U} = j\omega L \tilde{I}, \quad \tilde{I} = \frac{\tilde{U}}{j\omega L}$$

Численное значение (Z) $j = i$ в радиоэлектронике
Комплексная проводимость - Y

Линейные цепи с нагрузкой

1. Частотные характеристики RC-цепи

$$\tilde{U}_{in} = \frac{\tilde{U}_{out}}{1 + \frac{1}{j\omega C}} = \frac{\tilde{U}_{out}(1 - j\omega RC)}{1 + \omega^2 R^2 C^2}$$

Что будет, если на вход подать $\cos \omega t$?

$$U_{out} = \text{Re}(\tilde{U}_{out}) = (\cos \omega t + \sin \omega t \cdot j\omega RC) \cdot (1 + \omega^2 R^2 C^2)^{-1}$$

Амплитудно-фазовая зависимость: $\cos \omega t + i \sin \omega t$

$$K(\omega) = \frac{\tilde{U}_{out}}{\tilde{U}_{in}} = \frac{1 - j\omega RC}{1 + \omega^2 R^2 C^2}$$

$$\frac{\tilde{U}_{out}}{\tilde{U}_{in}} = \frac{A_0 \cdot e^{j(\omega t + \varphi)}}{B_0 \cdot e^{j\omega t}} = \frac{A_0}{B_0} \cdot e^{j(\omega t + \varphi - \omega t)} = \frac{A_0}{B_0} e^{j\varphi}$$

Расстояние между Z -叫做 фаза - аргумент, расстояние до оси ординат - амплитуда

Чтобы найти ее, нужно из $K(\omega)$ выделить вещественную и комплексную части амплитуды $A_0 e^{j\varphi}$.

$$K(\omega) = \frac{1 - j\omega RC}{1 + \omega^2 R^2 C^2} = \frac{\frac{1 - j\omega RC}{\sqrt{1 + \omega^2 R^2 C^2}}}{\sqrt{1 + \omega^2 R^2 C^2}} \Rightarrow |K(\omega)| = (1 + \omega^2 R^2 C^2)^{-1/2}$$

$$|1 - j\omega RC| = \sqrt{1 + \omega^2 R^2 C^2}$$



Численно



$$\arg K = \varphi = -\arctg wRC$$



линейной стабилизации



- U_1, U_2 - относительно земли
- Не насыщает зажиг
- По боковым зажигам зажиг не насыщает
- Выпрям. неяв. неспецифичное (из 2) можно
о чистом симметрии (безоп. можно в чистом
пространстве) - модиф. $\approx \text{ЛК } U_1, U_2, i_1, i_2$.

Система с параметрами (из линейных зависимостей (такие R) меняется)

Система из 2 линейных ур-ий, определяющих зависимость, например:

$$\begin{cases} i_1 = f_1(U_1, U_2) \\ i_2 = f_2(U_1, U_2) \end{cases}$$

Т.е. зависимость зажигается
где-то с характеристиками f_1 и f_2 .



Причём f_1 и f_2 они

- Непрерывны
- Период. $\neq 0$

Т.е. мы можем использовать в описании подобный формул.

$$di_1 = \left(\frac{\partial f_1}{\partial U_1} \right) dU_1 + \left(\frac{\partial f_1}{\partial U_2} \right) dU_2 \quad di_2 = \left(\frac{\partial f_2}{\partial U_1} \right) dU_1 + \left(\frac{\partial f_2}{\partial U_2} \right) dU_2$$

$= \text{const}$ при U_1 и U_2

При $U_1 = \text{const}$, $U_2 = \text{const}$ мы имеем 4 константы, характер. зависимости.

Приз. симпл производных:

1. $\frac{\partial i_1}{\partial u_1} = g_{11}$ - прямая проводимость
2. $\frac{\partial i_1}{\partial u_2} = g_{12}$ - обратная производная проводимость
3. $\frac{\partial i_2}{\partial u_1} = g_{21}$ - прямая производная проводимости
4. $\frac{\partial i_2}{\partial u_2} = g_{22}$ - прямая производная проводимости

Амплитудный сигнал (безразмерн. $h \in C$ - неизменн.)

Вещественный сигнал - залежання нек-ої АК h від часу. При преобр-нн g у h одержано певну синусоїдну структ (чи синусоїдн. ф-ю). Ось зображення її комплексного компонента, який має зміс $= 0$.

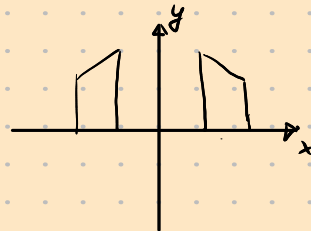
Це незадовільно - производна підходить з коеф. $\sin \omega t \cos \omega t$.

Додавши до цього комплексну фазу $- \pi/2$, отримаємо,

тобто вівас (правий) зміс структура буде однаковою.

Виведемо амплитудний сигнал. Позначимо g за промежутком $t \in [0, T]$. Тоді $x(t) = A \cdot e^{j(\omega t + \varphi)}$ - амплитудний сигнал, який має зміс φ та амплитуду A .

Сигнал дієт залежно від часу t та фази φ та амплитуди A .



$$x(t) = \begin{cases} A \cdot e^{j(\omega t + \varphi)} & \text{for } t \in [0, T] \\ 0 & \text{otherwise} \end{cases}$$

$$\tilde{x}(t) = A_0 \cdot e^{j(\omega t + \varphi)} = A_0 \cdot e^{j\varphi} \cdot e^{j\omega t} \quad \text{- амплитудний сигнал. } |e^{j\omega t}| = 1$$

$A_0(\omega), \varphi(\omega)$. $A_0(\omega) \cdot e^{j\varphi(\omega)}$ - комплексна амплітуда

$e^{j\omega t}$ - комплексна вращаючася експонента.

\tilde{Y} - параметри (комплексн.)

$$\tilde{I}_1 = Y_{11} \tilde{U}_1 + Y_{12} \tilde{U}_2 \quad \tilde{I}_2 = Y_{21} \tilde{U}_1 + Y_{22} \tilde{U}_2$$

При пошуку Y_{11}, Y_{21} \tilde{U}_1, \tilde{U}_2 замінюють (закорінюють відповід.), аналогічно до Y_{21}, Y_{12} .

$$\begin{pmatrix} \tilde{I}_1 \\ \tilde{I}_2 \end{pmatrix} = Y \times \begin{pmatrix} \tilde{U}_1 \\ \tilde{U}_2 \end{pmatrix}$$

Если бы в I_1 и I_2 как неизб., наименование то же:

$$dU_1 = \frac{\partial U_1}{\partial I_1} dI_1 + \frac{\partial U_1}{\partial I_2} dI_2$$

$$dU_2 = \frac{\partial U_2}{\partial I_1} dI_1 + \frac{\partial U_2}{\partial I_2} dI_2$$

- зглоба композитное сопротивление

Следует на анод. сущес:

$$U_1 = Z_{11} I_1 + Z_{12} I_2$$

$$U_2 = Z_{21} I_1 + Z_{22} I_2$$

$$\begin{pmatrix} U_1 \\ U_2 \end{pmatrix} = Z \times \begin{pmatrix} I_1 \\ I_2 \end{pmatrix}$$

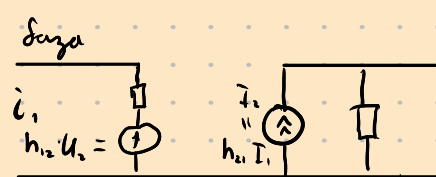
$$\text{Чтож: } Z_{11} = \frac{Y_{22}}{|Y|} \quad Z_{12} = -\frac{Y_{12}}{|Y|}$$

$$Z_{21} = -\frac{Y_{21}}{|Y|} \quad Z_{22} = \frac{Y_{11}}{|Y|}$$

H - параметры

$$\begin{cases} U_1 = h_{11} I_1 + h_{12} U_2 \\ I_2 = h_{21} I_1 + h_{22} U_2 \end{cases}$$

- называю же динамическими транзисторов



Компакт

U_2 - анондное напряжение сущес

пример

h_{21} - неподв. но наизменч. токи (нп.) h_{11} - бкдное сопротивление

h_{12} - (нп.) h_{22} - бкдная проводимость (нп.)

(нп.) - индуктивность

$$\text{Чтож: } h_{11} = \frac{|Z|}{Z_{22}} \quad h_{12} = -\frac{Z_{12}}{Z_{22}}$$

$$h_{21} = -\frac{Z_{21}}{Z_{22}} \quad h_{22} = \frac{1}{Z_{22}}$$

Комплексный коэф-т передачи



Амплитуда - из ТФ КП

Комплексная частота реальная не подходит
 $|e^{j\omega t}| = 1$

$K(j\omega)$ - комплексный коэф-т передачи

$$K(j\omega) = \frac{B_{lm}}{B_{ls}} = \frac{B(\omega) e^{j\varphi(\omega)} e^{j\omega t}}{A_0 e^{j\varphi_0} e^{j\omega t}} = \frac{B(\omega)}{A_0} \cdot e^{j(\varphi(\omega) - \varphi_0)}$$

Найдётся ампл. синус с огнём. Спектральные линии ложатся на прямую $K(j\omega)$ same дает

$$\Leftrightarrow \frac{B_n \cdot \omega^n + B_{n-1} \cdot \omega^{n-1} + \dots + B_0}{A_n \cdot \omega^n + A_{n-1} \cdot \omega^{n-1} + \dots + A_0} = \frac{B_0 \cdot (\omega - b_1) \cdot (\omega - b_2) \cdot \dots \cdot (\omega - b_n)}{A_0 \cdot (\omega - a_1) \cdot (\omega - a_2) \cdot \dots \cdot (\omega - a_m)}$$

самостоятельный вуз

самостоятельный вуз

(одна из линий загорается погасевшими)

Частоты:

- Когда $\omega = b_k$, $|K| = 0$
- Когда $\omega = a_k$, возникает осадка.

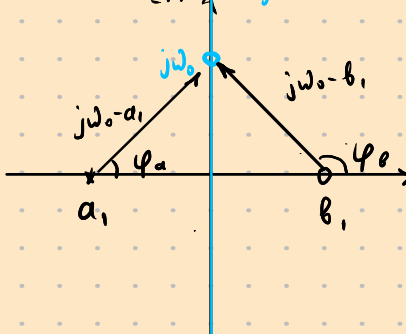
$$\Leftrightarrow \frac{B_0}{A_0} \cdot \frac{|(\omega - b_1)| \cdot e^{j\arg(\omega - b_1)} \cdots |(\omega - b_n)| \cdot e^{j\arg(\omega - b_n)}}{|(\omega - a_1)| \cdot e^{j\arg(\omega - a_1)} \cdots |(\omega - a_m)| \cdot e^{j\arg(\omega - a_m)}} = \frac{B_0}{A_0} \cdot \frac{\prod_{k=1}^n |(\omega - b_k)|}{\prod_{p=1}^m |(\omega - a_p)|} \cdot e^{j \sum_{k=1}^n \arg(\omega - b_k) - j \sum_{p=1}^m \arg(\omega - a_p)}$$

"Нузы" - корни числителя (b_i)

"Полосы" - корни знаменателя (a_i)

ω гармон. форма комплексной (p), where от комплексной сп-ли приводят передачу к вуз-ам.

$$Im p = j\omega, \alpha = 0$$



$$\frac{B(\omega)}{A_0} \cdot e^{j(\varphi(\omega) - \varphi_0)} = \frac{B_n \cdot p^n + B_{n-1} \cdot p^{n-1} + \dots + B_0}{A_n \cdot p^n + A_{n-1} \cdot p^{n-1} + \dots + A_0} = \dots$$

Но на самом деле, нузы в $\frac{B_0}{A_0}$ имеют значение вещественных

$p = j\omega + \alpha$ - это же вектор комплексной частоты, $\alpha = 0$.

Учите, что нузы неизменные, а полосы меняются с частотой.

$$K(j\omega) = \frac{|j\omega - b_1|}{|j\omega - a_1|} \cdot e^{j(\arg(j\omega - b_1) - \arg(j\omega - a_1))}$$

$|K(j\omega)| =$ отношение длин векторов из нуза и из полосы

$$|K(j\omega)| = \frac{\sqrt{b_1^2 + \omega^2}}{\sqrt{a_1^2 + \omega^2}} - AUX \quad \arg K(j\omega) = \varphi_B - \varphi_A - \phi UX$$

Пример $a_1 = -b_1$.



Инерционная RC-система



$$K(j\omega) = \frac{\tilde{U}_{out}}{\tilde{U}_{in}} = \frac{1}{R + j\omega L} = \frac{1}{j\omega RL + 1} = \frac{1}{RC(j\omega + \frac{1}{RC})}$$

Tak repayrem
(nem repay kongenatsiya)

$$= \frac{1}{RC(p + \frac{1}{RC})} \quad a_1 = -\frac{1}{RC} \quad \frac{b_0}{a_0} = \frac{1}{RC}$$

$$|K| = \frac{1}{RC} \cdot \frac{1}{\sqrt{\omega^2 + \frac{1}{RC^2}}} = \frac{1}{\sqrt{1 + \omega^2 R^2 C^2}} \quad -AUX$$



$$\arg K = -\arctg(\omega RC) \quad -AUX$$



Дискретизированная RC-система



$$K(j\omega) = \frac{R}{R + \frac{1}{j\omega C}} = \frac{j\omega RC}{j\omega RC + 1} = \frac{j\omega - \omega_0}{j\omega + \frac{1}{RC}}$$



AUX

OPUX

Не вещественное нулю / ненулевое значение имагинарной части. Re < 0, even though 1 - вещественное

Однородные дифференциальные уравнения



$$C_n \frac{df^{(n)}}{dt} + C_{n-1} \frac{df^{(n-1)}}{dt} + \dots = \dots$$

Заменим $f^{(n)}$ на p^n , $f^{(n-1)}$ на p^{n-1} , ...

Получаем характеристическое уравнение.

Корни полученного уравнения дают решения дифгр. ур-я.

$$\frac{df^{(n)}}{dt^{(n)}} \rightarrow p^n$$

- означает, с помощью к-поса можно решить задачу

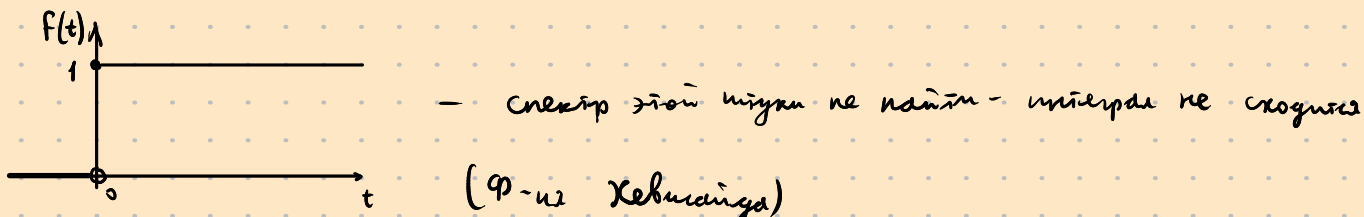
$$\int f(t) dt \rightarrow \frac{1}{p}$$

Непрерывная форма $x(t)$ и ее спектр (преобразование Фурье):

$$F(\omega) = C \int_{-\infty}^{\infty} f(t) e^{-j\omega t} dt$$

↑ Континуум!

- спектр этого нигде не непрерывен и не сконцентрирован



Можно представить её как суммой бесконечного количества к-посов Хевишига, иначе говоря, когда сконцентрировано непрерывное.

Всегда имеем кратные преодр-е, always универсальный подход: умножим $f(t)$ на $e^{-\sigma t}$.

Также все к-поса можно организовать такими же.

$$F(p) = \int_0^{+\infty} f(t) \cdot e^{-pt} dt; \text{ обозначим } p = j\omega + \sigma - \text{ преодр-е лампаса (пренес)}$$

"это очевидно, он будет звучать так."

При этом всегда будем, что при $t=0$ $f(t)=0$, иначе лампа не будет звучать

(также непрерывне разбиваем на отдельные $e^{-\sigma t}$). $F(p)$ - лампа - отраж

Числовые признаки засечки интеграла

1. Не более чем конечное число разрывов 1-го рода на каждом конечном отрезке $\forall t \rightarrow \exists A, \alpha \leq 1, h_0 : |f(t+h) - f(t)| \leq A|h|$ - оп. способом поиска на конечном отрезке (дискретизируя засечку?)
2. $\forall t < 0 \rightarrow f(t) = 0$
3. $\exists M > 0, s_0 > 0 : \forall t \rightarrow |f(t)| < M e^{s_0 t}$ - оп. способом поиска на междуречии засечки

$$f(t) \stackrel{def}{=} F(p) - f(t) \text{ - есть } \lim_{p \rightarrow t} F(p)$$

Однозначное представление вида $\frac{1}{p-t}$.

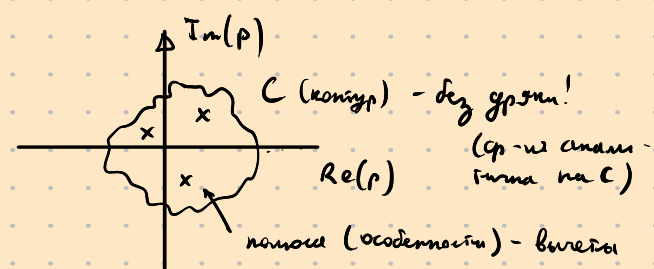
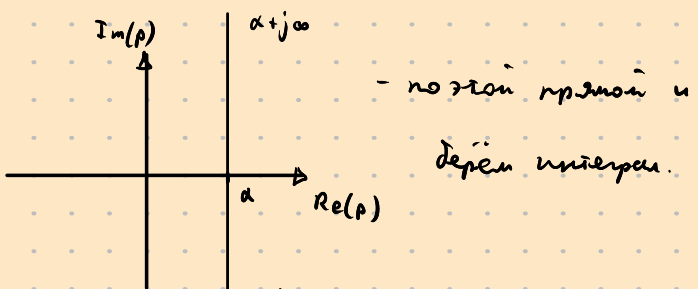
$$f(t) = \frac{1}{2\pi j} \int_{\alpha-j\infty}^{\alpha+j\infty} \frac{1}{p} e^{pt} dp$$

В ТФКП не применяется правило интегрирования.

Однозначный вид: теорема Коши о барвешах.

$$\int_C q(p) dp = 2\pi i \cdot \sum \operatorname{res} q(p) \quad (\text{сумма барвешей вдоль контура})$$

$\operatorname{res} q(p)$ - барвеш оп-ции $q(p)$



Если в оп-ии есть осадимости, применяются не в поле Тейора, а вот в таком виде:

$$f(p) = \dots + \frac{1}{p^2} C_{-2} + \underbrace{\left(C_{-1} \frac{1}{p} + C_0 + C_1 p + C_2 p^2 + \dots \right)}_{\text{барвеш оп-ии}} \quad - \text{поле Тейора}$$

$\underbrace{\text{надлежащие засечки}}$

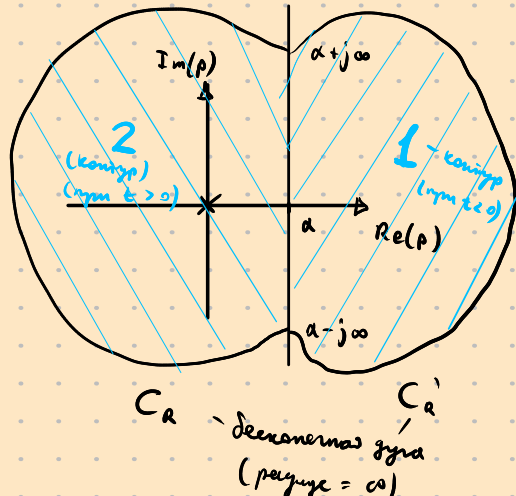
C_{-1} - это засечка, есть в знаменателе

Понятие засечки интеграла базируется на правилах

$\rightarrow \infty$ при смещении оп-ии $p \rightarrow 0$ на ∞ симметрично 0 . (лемма Морана)

При $t < 0$ по засечке Морана $\int_{C_R'} \dots = 0$

$$\int_{\text{засечка!}} \dots = \int_L \dots - \int_{C_R'} \dots = 0 - 0 = 0 \quad f(t) = 0$$



При $\alpha > 0$ контур 1 не содержит осадимостей (один засечка: $\frac{1}{p} - \delta$ засечка) $\Rightarrow \int_1 \dots = 0$

При $t \geq 0$

Барвеш засечки, забавляю 1 ($t \rightarrow 0$ $e^{pt} \rightarrow 1 \Rightarrow$ засечка осадимости: $\frac{1}{p} \rightarrow C_{-1} - 1$)

$$\int_2 \dots = 2\pi i \quad \int_1 \dots = \int_2 \dots - \int_{C_R} \dots = 2\pi i$$

$$F(t) = \frac{2\pi i}{2\pi i} = 1 \quad - \text{q-p-u2 Xebucanya!}$$

T.e. $F(p) = \frac{1}{p}$ ges q-p-u2 Xebucanya.

Прегледуем мысъл q-p-u2 във вид на симметрични съмволи, която е2 има предпазителни за ламбади. e^{-pt} - избраният q-p-u2 Xebucanya може предпази -2



$$f(t) = \frac{1}{2\pi j} \int_{a-j\infty}^{a+j\infty} e^{pt} \left\{ \sum f(\tau_x) e^{-p\tau_x} \Delta' \tau_x \right\} dp$$

$$\Delta' \tau_x = \frac{-e^{-p\Delta \tau_x}}{p} = \Delta \tau_x - \frac{(\Delta \tau_x)^2}{2!} + \dots - \text{първи член}$$

$$f(t) = \frac{1}{2\pi j} \int_{a-j\infty}^{a+j\infty} e^{pt} \left\{ \int_0^t f(t') e^{-p t'} dt' \right\} dp \quad - \text{одното предпази е ламбада}$$

$$f(t) = \frac{1}{2\pi j} \int_{a-j\infty}^{a+j\infty} e^{pt} F(p) dp$$

$f(t)$ - q-p-u2 Xebucanya.

$$F(p) = \int_0^{+\infty} f(t) e^{-pt} dt = -\frac{1}{p} e^{-pt} \Big|_0^{+\infty} = \frac{1}{p}$$

$$G(p) = \int_0^{\infty} e^{p_0 t} e^{-pt} dt = \int_0^{\infty} e^{-(p-p_0)t} dt = -\frac{1}{p-p_0} e^{-(p-p_0)t} \Big|_0^{\infty} = \frac{1}{p-p_0}$$

Получихме, че

$$f(t) \doteq \frac{1}{p} \quad e^{p_0 t} \cdot f(t) \doteq \frac{1}{p-p_0}$$

тъй като предпази е независим от времето t , то $f(t)$, е2 не минава.

Свойства предпази-2 ламбада

1° линейност

$$\int_0^{\infty} (\alpha f(t) + \beta g(t)) e^{-pt} dt = \alpha \int_0^{\infty} f(t) e^{-pt} dt + \beta \int_0^{\infty} g(t) e^{-pt} dt$$

$$\alpha f(t) + \beta g(t) \doteq \alpha F(p) + \beta G(p)$$

$$\sin \omega t = \frac{e^{j\omega t} - e^{-j\omega t}}{2j}, \quad \cos \omega t = \frac{e^{j\omega t} + e^{-j\omega t}}{2}$$

и също линейността навсяде!

$$\sin \omega t \doteq \frac{1}{2j} \left(\frac{1}{p-j\omega} - \frac{1}{p+j\omega} \right) = \frac{\omega}{p^2 + \omega^2}$$

$$\cos \omega t \doteq \frac{1}{2} \left(\frac{1}{p-j\omega} + \frac{1}{p+j\omega} \right) = \frac{p}{p^2 + \omega^2}$$

$$\operatorname{sh} \omega t \doteq \frac{\omega}{p^2 - \omega^2}$$

$$\operatorname{ch} \omega t \doteq \frac{p}{p^2 - \omega^2}$$

2° Таблица номинал

$$f(t) \doteq F(p)$$

$$f(\alpha t) \doteq \int_0^\infty f(\alpha t) e^{-pt} dt = \frac{1}{\alpha} \int_0^\infty f(t) e^{-p\frac{t}{\alpha}} dt = \frac{1}{\alpha} F\left(\frac{p}{\alpha}\right)$$

3° Дифференцирование ортранс

$$f'(t) \doteq F(p)$$

$$f'(t) \doteq \int_0^\infty \underbrace{f'(t)}_{u'} \underbrace{e^{-pt} dt}_{v} = f(t) e^{-pt} \Big|_0^\infty - \int_0^\infty f(t) (-p) e^{-pt} dt = -f(0) + pF(p)$$

$$f^{(n)}(t) \doteq p^n F(p) - \sum_{i=0}^{n-1} p^{n-i-1} f^{(i)}(0)$$

4° Дифференцирование изотранс

$$F(p) \doteq f(t) \quad (\text{одинакое преобр-е})$$

$$F'(p) = \left(\int_0^\infty f(t) e^{-pt} dt \right)'_p = - \int_0^\infty t f(t) e^{-pt} dt$$

$$F^{(n)}(p) \doteq (-t)^n f(t)$$

$$t^n \doteq (-1)^n \left(\frac{1}{p} \right)^{(n)} = \frac{n!}{p^{n+1}}$$

$$t^n e^{pt} \doteq \frac{n!}{(p-p_0)^{n+1}}$$

5° Интегрирование ортранс

$$f(t) \doteq F(p)$$

$$g(t) = \int_0^t f(t) dt \quad g(t) \doteq G(p)$$

$$F(t) = g'(t) \doteq F(p) = pG(p)$$

$$G(p) = p^{-1} F(p)$$

6⁰ Интегрирование изображения

$$F(p) \doteq f(t)$$

$$\int_p^{\infty} F(p) dp - \text{изображение}$$

$$\int_p^{\infty} F(p) dp = \int_p^{\infty} \left\{ \int_0^{\infty} f(t) e^{-pt} dt \right\} dp = \int_0^{\infty} f(t) dt \int_p^{\infty} e^{-pt} dp = \int_0^{\infty} \frac{f(t)}{t} e^{-pt} dt$$

\uparrow изложение неправильное интегрирование

$$\int_p^{\infty} F(p) dp \doteq \frac{f(t)}{t}$$

$$e^{pt} - e^{at} \doteq \frac{1}{p-a} - \frac{1}{p-a}$$

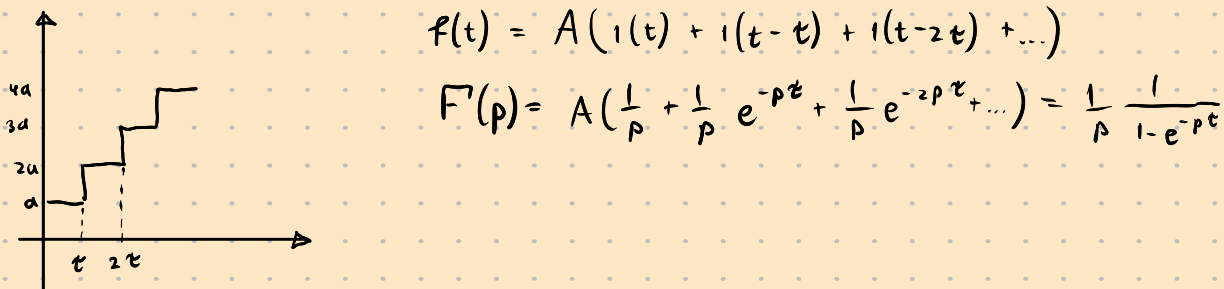
$$\frac{e^{pt} - e^{at}}{t} \doteq \int_p^{\infty} \left(\frac{1}{p-a} - \frac{1}{p-a} \right) dp = \ln \frac{p-a}{p-a}$$

7⁰ Теорема замены изображения

$$f(t) \doteq F(p)$$

$$f(t-t) \doteq \int_t^{\infty} f(t-t) e^{-pt} dt = \int_0^{\infty} f(t_1) e^{-(t_1+t)} dt_1 = e^{-pt} F(p)$$

$t_1 = t - t$



$$f(t) = A(1(t) - 21(t-t) + 2 \cdot 1(t-2t) - \dots)$$

$$F(p) = \frac{A}{p} \left(1 - 2 \frac{e^{-pt}}{1 - e^{-pt}} \right)$$

Меняется

$$F(p) = \frac{A}{p^2} \left(1 - 2 \frac{e^{-pt}}{1 - e^{-pt}} \right)$$



8º Teorema convolutionis

$$F(p) \doteq f(t)$$

$$F(p-p_0) \doteq ?$$

$$F(p-p_0) = \int_0^\infty f(t) e^{-(p-p_0)t} dt = \int_0^\infty (f(t) e^{p_0 t}) e^{-pt} dt$$

$$e^{-pt} \sin \omega t \doteq \frac{\omega}{(p+\lambda)^2 + \omega^2}$$

$$e^{-pt} t^n \doteq \frac{n!}{(p+\lambda)^{n+1}}$$

9º Teorema умножения - *бесконечное произведение*

$$f(t) \doteq F(p) \quad g(t) \doteq G(p)$$

$$F(p) \cdot G(p) \doteq ?$$

$$\int_0^t f(\tau) g(t-\tau) d\tau = \int_0^\infty e^{-pt} dt \int_0^t f(t) g(t-t) dt = \int_0^\infty f(t) e^{-pt} dt \int_t^\infty g(t) e^{-pt} dt, =$$

$$= F(p) \cdot G(p)$$

$$\int_0^t f(t) g(t-t) dt - \text{интеграл свёртки}$$

Есан оңайындың түзүлүштөрінің характеристикасы, граници - барынан бергенінде, бескінчелік бергеніндең дүйесіндең түзүлүштөріндең көрсеткіші - ишінен пісінен айналған

$$p F(p) G(p) = f(0) G(p) + \{ p F(p) - f(0) \} G(p) \doteq f(0) g(t) + \int_0^t g(t) \cdot f'(t-t) dt =$$

Интеграл Дюамеля

$$= g(0) f(t) + \int_0^t f(\tau) g'(t-\tau) d\tau$$

10º Обратная теорема умножения

$$f(t) g(t) \doteq \frac{1}{2\pi i} \int_{\alpha-i\infty}^{\alpha+i\infty} F(q) G(p-q) dq - \text{неге жағажайы}$$

$$f(t) g(t) \doteq \int_0^\infty f(t) g(t) e^{-pt} dt = \frac{1}{2\pi i} \int_0^\infty \left\{ \int_{\alpha-i\infty}^{\alpha+i\infty} F(q) e^{qt} dq \right\} g(t) e^{-pt} dt =$$

$$= \frac{1}{2\pi i} \int_{\alpha-i\infty}^{\alpha+i\infty} \left\{ F(q) \int_0^\infty g(t) e^{-(p-q)t} dt \right\} dq = \frac{1}{2\pi i} \int_{\alpha-i\infty}^{\alpha+i\infty} F(q) G(p-q) dq$$

Дегенде интеграл түзүлдеп беріледі.

Числоское характеристики

Особенности функциональных из-внешн. функционалов, заданные на пространстве основных функций. Число, соотвтвующее основной функции φ функционалу f называется (f, φ) и наз-ся единичной обобщенной ф-ией f . на пространство ф-ий φ .

$$(f, \varphi) = A$$

1° Минимум функционала

$$f(c_1\varphi_1 + c_2\varphi_2) = c_1(f, \varphi_1) + c_2(f, \varphi_2)$$

2° Непрерывность

$$\forall \varphi_n \xrightarrow[n \rightarrow \infty]{K} 0 \rightarrow (f, \varphi_n) \xrightarrow[n \rightarrow \infty]{} 0 \quad (K - \text{нр-то сущ-ва})$$

Всеобщая основная ф-я для линейного гипероператора.

У каждого основной ф-и есть "конечно-подмножество": $\varphi(x) = 0 \Big|_{|x| > b}$
(второе сл-то - это промежуток)



Пример: $\varphi(x) = \begin{cases} 0, & |x| \geq a \\ \exp\left(-\frac{x^2}{a^2-x^2}\right), & \text{если } x < |a| \end{cases}$

В т. $x \rightarrow a$ функция, эко $\varphi(x) \rightarrow 0$ и $\varphi'(x) \rightarrow 0$ - ф-я нр-то непрерывная и гл-ко нр-то непрерывная $\varphi(x) = 0$.



Эти ф-и можно употреблять на любых линейных гиперфункциях.
Ф-и нр-то. И регулярная будет единственной в линейном гиперпространстве!

Применение Гамильтоновы нр-то основных ф-ий K .

$$(g, \varphi) = \int_{-\infty}^{+\infty} g(x) \varphi(x) dx - \text{регулярная обобщенная функция}$$

Самый простой пример - ф-я Хэмилтона:

$$1(x) = \begin{cases} 0, & x < 0 \\ 1, & x \geq 0 \end{cases} \quad (\text{небходимо, так как требуется } \theta \geq 0; \text{ всеядно можно использовать})$$

$$(1, \varphi) = \int_0^{+\infty} \varphi(x) dx$$

$(\delta, \varphi(x)) = \varphi(0) - \delta - \text{ошибка}$



$h(t)$ - импульсная реакция, реакция системы на "момент дозы"

$$g(t) = \lim_{\Delta \rightarrow 0} \int_0^{\infty} x(t) \delta_{\Delta}(t-t) dt$$

Математика сводится к такому выражению:

интеграл Римана в огнице t , величина 0.



Неправильное выражение:

$$g(t) = \lim_{\Delta \rightarrow 0} \int_0^{\infty} x(t) \delta_{\Delta}(t-t) dt = x(0) = (\delta, x(t))$$

Обобщенное производное обобщенного оператора

$$\int_{-\infty}^{+\infty} \delta'(t) \varphi(t) dt = \left. \delta(t) \varphi(t) \right|_{-\infty}^{+\infty} - \int_{-\infty}^{+\infty} \delta(t) \varphi'(t) dt = -\varphi'(0)$$

равдели на
функции



$$q = \int_{V \rightarrow 0} \rho dv - \text{момент}$$

$$q = \int q \delta(x) dx, \delta(x) - \text{момент точечного заряда}$$

q



Как отнести момент заряда точечного заряда?

$$\frac{l}{\ell} \rho \delta\left(x + \frac{l}{2}\right) \quad \text{и} \quad -\frac{l}{\ell} \rho \delta\left(x - \frac{l}{2}\right) \quad - \text{если } l \neq 0;$$

$$\lim_{\ell \rightarrow 0} \frac{\rho \delta\left(x + \frac{l}{2}\right) - \rho \delta\left(x - \frac{l}{2}\right)}{\ell} = \rho \delta'(x)$$



$$\begin{array}{c} \delta(t) \xrightarrow{\lambda} h(t) \\ \downarrow \lambda \\ 1 \xrightarrow{} K(p) \end{array}$$

Синоди описание лин. и не-л.

① АЧХ, фур



② Частотное описание



захватлен нач-ое кор-то
значение в момент времени

③ Переходное характеристики



Все описание захватлено

Описание не-л. частотной характеристики



$$\delta(t) = \lim_{\Delta t \rightarrow 0} \frac{i(t) - i(t-\Delta t)}{\Delta t}$$

$$\int_{-\infty}^{+\infty} \delta(t) dt := \lim_{\Delta t \rightarrow 0} \int_{t-\frac{\Delta t}{2}}^{t+\frac{\Delta t}{2}} \frac{1}{\Delta t} dt = 1$$

(если не брать \lim за \int , получим 0!)

Когда мы находим, что $\delta(t) = i'(t)$, то $i(t)$ не uniquely определено — это означает, что не fix. Однако если сказать что однозначно определено, то это верно!

Всегда имеем:

$$h_n(t) = \lim_{\Delta t \rightarrow 0} \frac{h(t) - h(t-\Delta t)}{\Delta t}$$



пример для интегрирующей цепи
(единственное не-л. описание)



пример для дифференцирующей цепи
(единственное не-л. описание)

Однако $h(t)$ не всегда unique! Поэтому

$$h_n(t) = h'(t)$$

Для синоди оправдание с правильной не-л. $h_n(t)$:

1. Пайдит $h(t)$ на все равно: либо 1. прямая и прямая
2. Переход к одному ф-нию: там одинаково

Наша сінукса на $x(t)$



Аналог $x(t)$ можна представити сумою елементів.

Всі цікі уміння використані вище:

$$y(t) = c_0 h(t) + c_1 h(t-\Delta t) + c_2 h(t-2\Delta t)$$

Чи можемо $\Delta t \rightarrow 0$:

$$y(t) = \int_0^t h(t-\theta) d[x(\theta)] = \int_0^t x'(\theta) h(t-\theta) d\theta - \text{непасирна функція Dirac}$$

Но! Якщо $x(t)$ підібний? Тоді не $x'(t)$. Можна непідібний & однак. єд-нан, але спонза більш широким обсягом.

$$y(t) = x(\theta) h(t-\theta) \Big|_0^t + \int_0^t x(\theta) h'(t-\theta) d\theta = x(t) h(0) + \int_0^t x(\theta) h'(t-\theta) d\theta - \text{- більш широка функція Dirac}$$

Підібні $h(t)$ називають також, якщо в них називає $h_u(t)$ - параліпіпедним зважом або ваговим зважом. І. підібні по обсягу.

В одній з цих:

$$y(t) = \int_0^t x(\theta) h_u(t-\theta) d\theta$$

Свого з преодол-ем Аналіза

$$\mathcal{L}[y(t)] = \mathcal{L}[x(t)] \cdot \mathcal{L}[h_u(t)] = H(p) \cdot \mathcal{L}[x(t)]$$

Припустимо компактність h_u - неперіз - $H(p) = \mathcal{L}[h_u(t)]$!

Выделение нужного сигнала из падора



1 МГц, импульс на частоте 50 Гц



AЧХ приемника

① Частотное разделяние

- Передатчик и приемник имеют одинаковую группу о группе не забот

② Разделение по времени

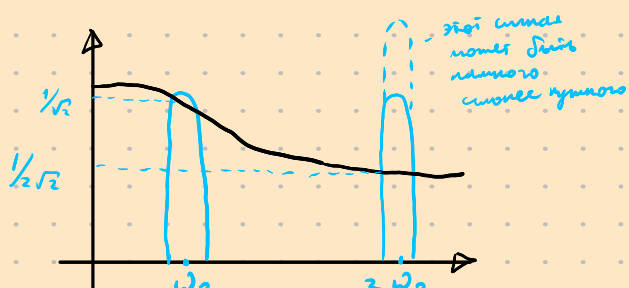
- Предупреждение о синхронизирующих пакетах (нечетные передаваемые)

③ Разделение по фазе

- Предупреждение о синхронизирующих пакетах (5 нс для задержки между кандидатом 1 и кандидатом 2)

Частотное разделение

Деление на частоты неудобно (имеем не-равномерный спектр передаваемого сигнала). Берут октаву или меньше (октава - от ω_0 до $2\omega_0$)



Использование RC-фильтра (AЧХ).
Сдвиг в 6 ДБ (честно!)

Первое прохождение

- FM диапазон: 90 - 110 МГц
- Шаг между станциями: 400 кГц
- Изменение радиуса на 5%, дальность приема 60 ДБ (линейно - RC-цепочка совсем не помогает...)

Второе прохождение



- Используются не одинаковые антенны, 2 адомени сдвигаются в разные стороны
- Максимум ~ 10% различия (напр. 1,0 и 1,1 МГц для передачи и для приема)

- Задача упрощена: нерегулятор и приемник - движущее в огне зеркало. Мощность нерегулируемого излучения $E_{\text{нр}}$ (в 1-й задаче нерегулятор не входит в расчеты из-за применения, но не менее ~1 кВт - все равно).

Решение 1: негасимый П-образный генератор.

Минимальное значение нестабильности (если сущест. короткое, то оно можно декомбинировать) - зависит от преодол. $\Phi_{\text{крит}}$.

Как такое можно в реальности?

Решение 2: резонансные сиркуляции



- Согласование генератора с нагрузкой не является нерегулируемым
 - Но! Негасимой каскад. если не забыть - это нестабильность (r)
- $$L \frac{di}{dt} + \frac{1}{C} i dt + ri = e \quad -\text{если забыть}$$

Можно еще компенсацию добавить:

$$I = \frac{E}{Z_{\text{бл}}} = \frac{E}{jwL + r - \frac{1}{wC}} = \frac{E}{r + j(wL - \frac{1}{wC})}$$

Единственное условие при $wL = \frac{1}{wC}$

$Z_{\text{бл}}$ несет на себе заряд:

1. $r_b = r$ - активная составляющая (const)

2. $X_{\text{бл}} = wL - \frac{1}{wC}$ - реактивная составляющая (0 при $wL = \frac{1}{wC}$, зеркальной ω)

Резонанс при $\omega_0 = \frac{1}{\sqrt{LC}}$ (при этом $Z_h = Z_c$), при нем:

$Z_h = Z_c = \rho = \sqrt{\frac{L}{C}}$ - харacterистическое сопротивление колебательного контура

Добротность $Q = \frac{W_{\text{кк}}}{P \cdot \sqrt{LC}} = \left(W_{\text{кк}} - \text{энергия, занесенная в колеб. контур}, P - \text{среднее значение потока за 1 погон}, \sqrt{LC} - 1 \text{ погон} \right)$

$$= \frac{LI^2}{2P\sqrt{LC}} = \frac{LI^2}{2\left(\frac{I}{\sqrt{2}}\right)^2 R \cdot \sqrt{LC}} = \frac{\sqrt{LC}}{R} = \frac{\rho}{r}$$

запасенное
изменение индукции.

График. зеркала: напряжение переменного тока с амплитудой I подана напряжением постоянной силы $I_{\text{запл}}$, где сущест. $I_{\text{запл}} = I / \sqrt{2}$



$$Q = \frac{W_{\text{ex}}}{P \sqrt{L C}} = \frac{C U^2 R}{2 \left(\frac{U}{R} \right)^2 \sqrt{L C}} = \frac{R}{\sqrt{L/C}} = \frac{R}{S} \quad - \text{здесь} \text{нагрузка}$$

Задание $d = 1/Q$

При независимом нагрузке $\frac{1}{Q'} = \frac{1}{Q} + \frac{1}{Q_n}$ (т.к. $\frac{1}{R'} = \frac{1}{R} + \frac{1}{R_n}$)
 $d' = d + d_n$

Число не зависит от конфигурации нагрузки (L - C)

Обычно $Q \in [10; 10000]$.

Например, будем ожидать, что ω_0 всегда больше, а это означает, что ω_0 можно упростить.

$$X_{Bx} = \omega L - \frac{1}{\omega C} = \omega_0 L \left(\frac{\omega}{\omega_0} - \frac{1}{\omega_0 \omega L C} \right) = \omega_0 L \left(\frac{\omega}{\omega_0} - \frac{\omega_0}{\omega} \right) = S \left(\frac{\omega}{\omega_0} - \frac{\omega_0}{\omega} \right)$$

$$\xi = \frac{X_{Bx}}{r} = \frac{S}{r} \left(\frac{\omega}{\omega_0} - \frac{\omega_0}{\omega} \right) = Q \left(\frac{\omega}{\omega_0} - \frac{\omega_0}{\omega} \right) \quad - \text{коэффициент рассеяния}$$

(нормированное значение Q и значение ω_0)

$$\omega = \omega_0 + \Delta \omega, \quad \Delta \omega - \text{изменимое значение частоты}$$

$$X_{Bx} = \omega_0 L \left(\frac{\omega_0 + \Delta \omega}{\omega_0} - \frac{\omega_0}{\omega_0 + \Delta \omega} \right) = \omega_0 L \frac{(\omega_0 + \Delta \omega)^2 - \omega_0^2}{\omega_0 (\omega_0 + \Delta \omega)} \approx \omega_0 L \frac{2 \omega_0 \Delta \omega + \Delta \omega^2}{\omega_0^2} = L \cdot 2 \omega \Delta \omega =$$

$$= \frac{2 S}{\omega_0} \Delta \omega$$

$$\xi = 2 Q \frac{\Delta \omega}{\omega_0}$$

$$|Z_{Bx}| = r \cdot \sqrt{1 + \xi^2} \quad (\text{т.к. } Z_{Bx} = r \cdot (1 + j\xi))$$

$$\arg Z_{Bx} = \arctg \xi \approx 2 Q \frac{\Delta \omega}{\omega_0} \quad - \text{если значение } Q, \text{ то можно } \Phi \propto X$$



Добротность и сопротивление



$$R = \sqrt{\frac{L}{C}} \cdot Q =$$

- Если на го $Q=10$, то в цепи параллельно
- Но если на го $Q=100$, то R слишком большое, а напряжение circuita не хватает

А как же $Q=5000$?

Можно наладить маленький L и большой C

Но нечестно и грустно наладить не бывает — это проводников в цепи T-образной индуктивности.

Частичное выключение



$$Q = \frac{R_{\text{sub}}}{\sqrt{L/C}}$$

$$Q^* = \frac{R_{\text{sub}} R_{\text{namp}}}{(R_{\text{sub}} + R_{\text{namp}}) \sqrt{L/C}}$$



Погрешность измерения на где засл. Q^* - ?

$$U_{\text{namp}} = \frac{U}{j\omega C_2 \left(\frac{1}{j\omega C_1} + \frac{1}{j\omega C_2} \right)} = \frac{C_1}{C_1 + C_2} U$$

— каскадное выключение

$$P_{\text{namp}} = \frac{U_{\text{namp}}^2}{R_{\text{namp}}} = \text{const}$$

(не засл., т.к. не меняется подстроечная)

(изменяется напряжение)

- В 2 раза уменьшит U_{namp} (изменяется сила), но в 2 раза возрастает Q . (если $C_1 = C_2$)
- Внимание!

Каскадное выключение: $\frac{C_1}{C_1 + C_2}$

От R_{sub} напряжение не зависит, т.е. блокировка не демонстрирует.

3.



$$R_{\text{sub}} > R_n^* \quad R_{\text{sub}} > R_n^*$$

- Схема выключения, R_n и R_n^* — характеристики где будера подстроечная.



AUX y kontyra belye zane! Makinam, moshno uselish
ee rayne / normye u naipravlenii rezonansnogo zanei.

- Ceranno orens denges (b selenim kadas) ne rezonans. Tamen qanibep. Naryndis,
eem etamym nd 10 noks ottezi gyna et gyna (40 gfb selenim). Ko zho oren
ne zaydrekibyn.



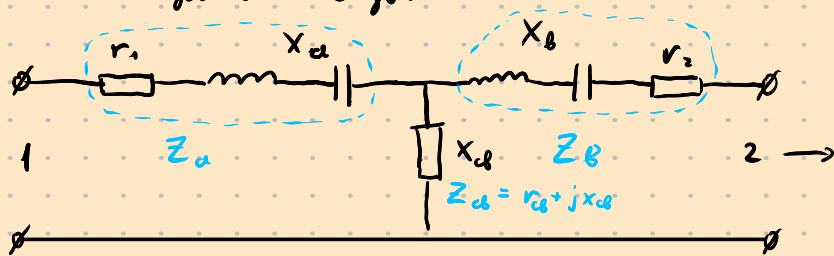
- Kak Brumbyla nebeni sunan mi, shodki z etamym
ero ne zanei? Kamer edyzeren yigibetis zin etamym?
- Moshno uselishim nozobolim qanibep - no ero net,
- Moshno uselishim zanei. Kontyram.

Связанные колеб. контура



Kazan suna edyzerem mi organizovana связь
meyny kontyram, qaraytar oshu u te xl.

Cermaq yozasal chay:



(X_d , kai u nazosbene kai rezistor,) ne aksimel sopotiremenie

- Eem 2 rezonansyi, on mosh
ne biret nd 1.

- Unare b kontyral i neberen
kazan yon. mamegine.

$$2\text{-rezonans}: Z_1 = Z_a + Z_d$$

$$1\text{-rezonans}: Z_2 = Z_b + Z_d$$

$$2\text{-K3}: Z_{bx} = Z_a + Z_d \parallel Z_b = Z_a + \frac{Z_a Z_b}{Z_d + Z_b}$$

$$Z_{ex} = Z_1 - Z_d + \frac{(Z_2 - Z_d) Z_d}{Z_2 - Z_d + Z_d} = Z_1 - \frac{Z_d^2}{Z_2}$$

Пояснение 2-го касед. к-ра здравоохранения бессим в концепт 1 Z_{БНС}:

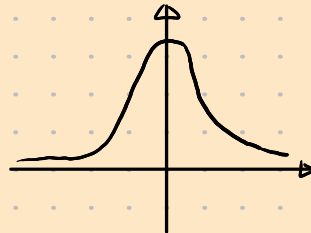
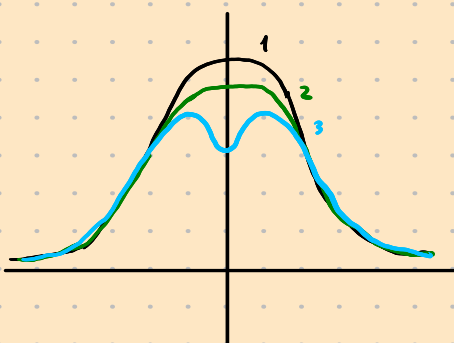
$$Z_{\text{БНС}} = - \frac{Z_{\text{б}}^2}{Z_2}$$

Ноутык $Z_{\text{б}} = j X_{\text{б}}$ ($Z_1 = r_1 + j x_1$, $x_1 = x_a + x_{\text{б}}$, аналогично Z_2) — т.к. надо непрерывно, а не резко прыгнуть

$$Z_{\text{БНС}} = - \frac{-x_{\text{б}}^2}{r_2 + j x_2} = \frac{x_{\text{б}}^2}{r_2^2 + x_2^2} r_2 - j \frac{x_{\text{б}}^2}{r_2^2 + x_2^2} x_2$$

$$r_{\text{БНС}} = \frac{x_{\text{б}}^2}{r_2^2 \left(1 + \frac{x_2^2}{r_2^2}\right)} = \frac{x_{\text{б}}^2}{r_2^2 (1 + \xi^2)} \approx \frac{x_{\text{б}}^2}{r_2 (1 + 2Q \frac{\Delta \omega}{\omega_0})}$$

$$x_{\text{БНС}} = - \frac{x_{\text{б}}^2 x_2 / r_2}{r_2 \left(1 + \frac{x_2^2}{r_2^2}\right)} = - \frac{x_{\text{б}}^2 \xi}{r_2 (1 + \xi^2)}$$



- Быстро затухающий
импульс

- Чем больше $x_{\text{БНС}}$, тем лучше это подавление
резонансных мод

Что называется АЧХ, когда known $r_{\text{БНС}}$
(1 — $r_{\text{БНС}}=0$, 2 — $r_{\text{БНС}}$ выше, 3 — $r_{\text{БНС}}$ дальше)

Чтобы учесть 3 касед-ки: ω_{01} — резонанс 1-го к-ра, ω_{02} — резонанс 2-го, $X_{\text{б}}$.

1-й звено резонанс: резонанс на 1-м, но не на 2-м

2-й звено резонанс: аналогично

наимен резонанс : $\omega_{01} = \omega_{02} = \omega$

1-й касед-ки резонанс : в результате 1-го звена про. баскетбол $X_{\text{б}}$ так, чтобы не было 2-го звена мод

2-й касед-ки резонанс : аналогично

наимен резонанс : $\omega_{01} = \omega_{02} = \omega$, $X_{\text{б}}$ одинаков (идеал. ФИК)

Итоги

- Рассмотрено применение полупроводникового синтеза к полупроводникам.
- Если в звук - полупроводник передатчик и звук - полупроводник приемник, это есть применение ограничения сверху

$$\frac{10^{-9}}{10^{-20}} \cdot \frac{\text{разделение}}{\text{напряжение}} = 320 \text{ Гб}$$

излучение
приемник

Многие ограничены температурой. Что если приемник запорожить?



разные временные фазы
на осциллографе

Сейчас на выходе имеется毛毛 (ограничен в резистор) и сир. в антенне.
Т.е. сигнала можно как-то разделять на части.

Будет пар-убийца не $U(t)$, а нек-пара упреждения ее знако-е - коррелирующими:

$$\langle U_1, U_2 \rangle = \lim_{T \rightarrow \infty} \frac{1}{T} \int_{-T/2}^{T/2} U_1(u) U_2(u-t) du$$

(если процесс эргодичен)

↓ (ночное на дневное)
"управление по времени"

Нужна память времени, чтобы такое нормализовать. Но говорят, что сигн. процесса эргодичен - где мы управление по времени можем заменить управлением по времени.

Надо же при изменении подавлять, пакетами блюдо毛毛 процесс:



Гребнико-сигнала
или сигналы стимул.

Чем дальше от t в коррелирующей подавляются какие-то значения, тем выше балансировочный процесс! И пакеты

Но какое-то звук. перен. абсолютное - 0. До неё дует ветер - то же:



Излучение коррелограмм - гауссовы процессы
Всего в коррелограмм - монодромные процессы

Разностная пульсация



$$y(t) = \int x(u) h_u(t-u) du = x * h.$$

Но x мы не знаем, знаем только $\langle x, x \rangle$.

$$\langle y, y \rangle = \langle (x * h_u), (x * h_u) \rangle$$

Оказывается! Статистика коррелограмм равна коррелограмм самим.

$$\langle y, y \rangle = (\langle x, x \rangle * \langle h_u, h_u \rangle) \Leftrightarrow L[\langle y, y \rangle] = L[\langle x, x \rangle] \cdot L[\langle h_u, h_u \rangle]$$

Коррелограмма - норма спектра, где неё применено "норма логарифма о спектре":

$$L[\langle x, x \rangle] = L[x] \cdot L[x]^* = (\text{нормированный комплексный}) = |L[x]|^2$$

$$\text{Ну а } x(f) = L[x]: L[\langle y, y \rangle] = |x(f)|^2 \cdot |K(jf)|^2$$



Мощность выходного сигнала есть квадрат коэффициента передачи $|K(jf)|^2$

т.е. на частоте $[\omega_0 - \Delta\omega, \omega_0 + \Delta\omega]$ получаем

$$|y(f)|^2 = |K_0|^2 \cdot |x(f)|^2$$

N3 В вакуумной технике базисное сопротивление лежит $R = 50 \Omega$ (\Rightarrow это очень много!)

В реальных условиях лежит $R = 75 \Omega$

$$\text{Потребляемая мощность} P = \frac{U^2}{R} = \text{const.} \cdot U^2$$

$|x(f)|^2$ - спектральная мощность монодромии (монодромия - монодромия).

Её называют спектральной мощностью.

Однако иначе - AWGN (additive white Gauss noise)

To есть если имеется идущий в антенне сигнал, например, 200 гармоник

Сумма на картинке есть $[-30^\circ; +30^\circ]$, т.е. 60° . Основное условие "на магнит" называется $|K(j\omega)|^2$.

Расчет пропускания

Числовое значение — площадь под графиком $K(j\omega)$. Принцип можно записать в виде + неопределенной величиной.

$$\Delta \Omega = \int_0^{\infty} \left| \frac{K(j\omega)}{K_0} \right|^2 d\omega - \text{числовое значение}$$

Суммирование сигналов



$$\begin{aligned} \langle n, n \rangle &= \left\langle \sum_{i=1}^N (e_i \times h_i), \sum_{k=1}^N (e_k \times h_k) \right\rangle (t) = \\ &= \sum_{i,k=1}^N \langle (e_i \times h_i), (e_k \times h_k) \rangle (t) = \\ &= \sum_{i,k=1}^N (\langle e_i, e_k \rangle \times \langle h_i, h_k \rangle) (t) \end{aligned}$$

Но в т.к. e_i и e_k при $i \neq k$ — сигналы из различных разных источников, то они не коррелированы: $\langle e_i, e_k \rangle = 0 |_{i \neq k}$, тогда получаем

$$\langle n, n \rangle = \sum_{i=1}^N (\langle e_i, e_i \rangle \times \langle h_i, h_i \rangle) (t)$$

В результате получим:

$$n^2 = \sum_{i=1}^N e_i^2 \cdot |K(j\omega)|^2$$

- Когда сумма скоррелирована, то складывается дубль амплитуда (сумма двух разных источников)
- Если они некоррелированы, то складываются дубль мощности.

Математический принцип



R, T
математическое выражение
закона сохранения:
 $e^2 = 4KT$



Сущесвует множество видов резисторов на броце как для симметричной.

Внешний коэффициент шума $K_n = 20 \lg \left(\frac{e_{\text{бр}}}{|K|^2 e_{\text{бр}}} \right)$

$K_n < 3 \text{ dB}$ - недопустимое значение, $K_n > 10 \text{ dB}$ - опасное

Как уменьшить шумы в системе

1. Уменьшение температуры (раз 8-10)
2. Уменьшение шума пассивных резисторов

Пассивное шумы - падение качества преобразования электрической энергии в тепловую (и наоборот). Знак. Динамика - Ампл

Все это реалистичное зв. то не однозначно тепловым шумам.

